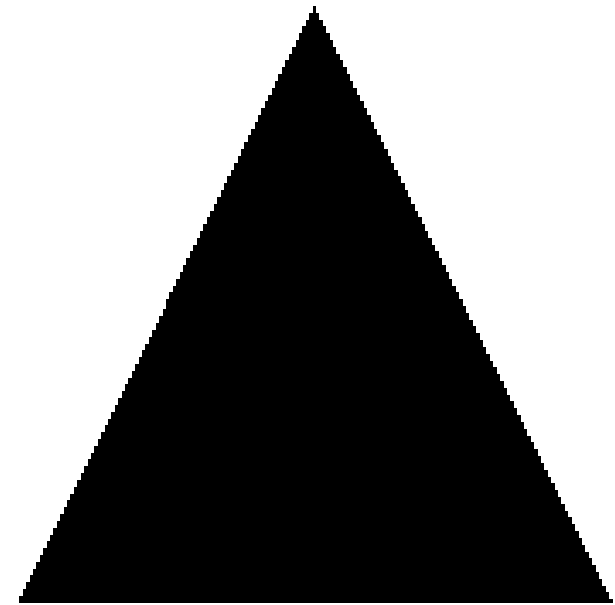
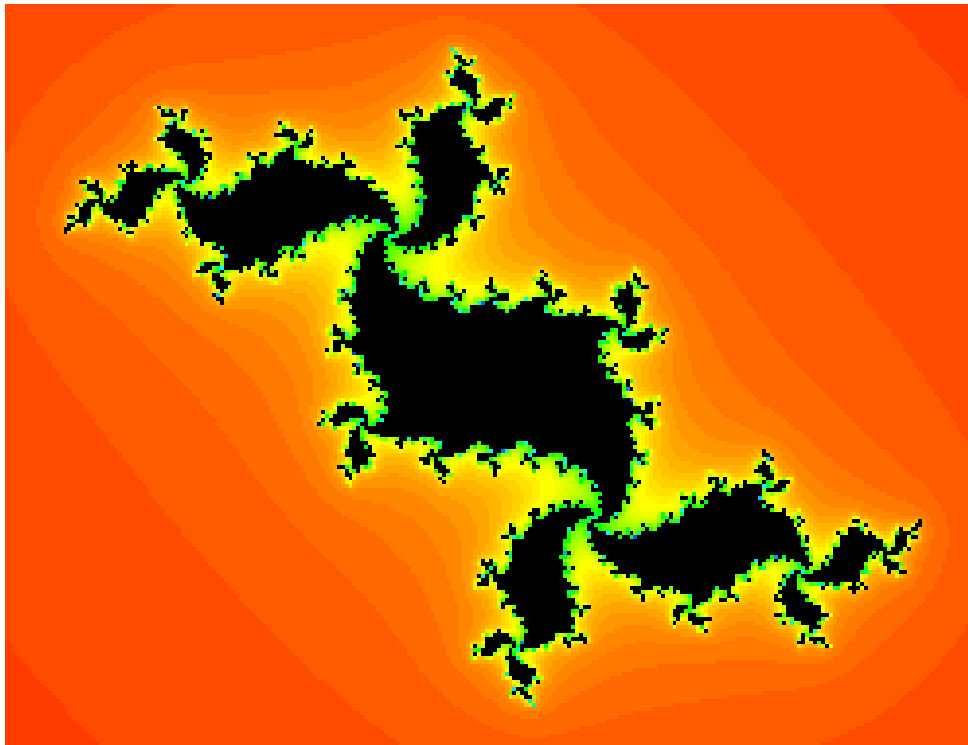


特征尺度问题：

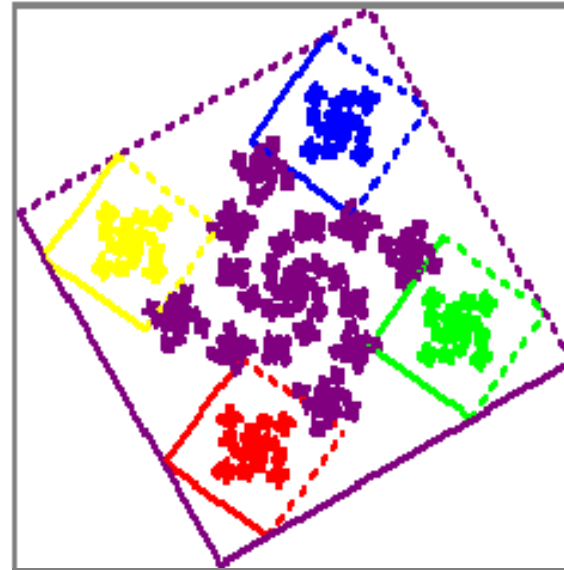
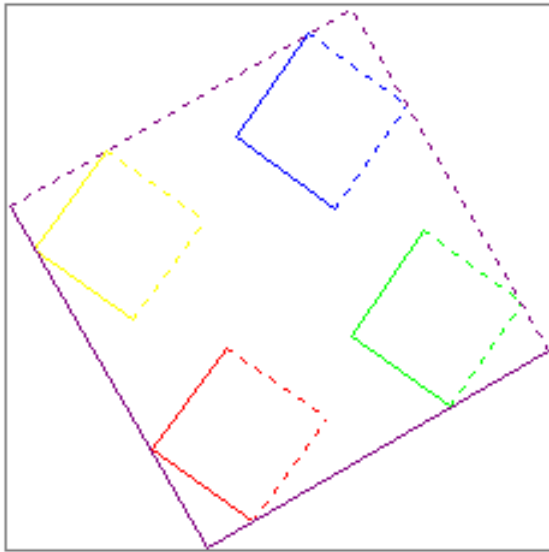
- 物理学家关注自然现象中的特征尺度，然后寻找数学描述方法！
关注有序无序！
- 自然界的构造动力模式：规则和完全随机之间的！
- 规则构成导致所谓周期排列或者准周期排列，例如晶体、社会组织、军队方阵等等，都有特征尺度。从形成动力学看，是近平衡生长或者组织形成的。
- 自然界随机过程和现象更加广泛：没有特征尺度！



非线性物理：分形物理



非线性物理：分形物理



非线性物理：分形物理



$$(x_{n+1}, y_{n+1}) = \begin{cases} (0, 0.16y_n), & 0.00 < r < 0.01 \\ (0.2x_n - 0.26y_n, 0.23x_n + 0.22y_n + 0.2), & 0.01 < r < 0.08 \\ (-0.15x_n + 0.28y_n, 0.26x_n + 0.24y_n + 0.2), & 0.08 < r < 0.15 \\ (0.85x_n + 0.04y_n, -0.04x_n + 0.85y_n + 0.2), & 0.15 < r < 1.00 \end{cases}$$

分形维：

- 这类没有特征尺度的物体成为分形体。既然没有特征尺度，如何去描述它的几何特征？以**Koch**曲线为例：



- 对单位长度线段，无论用何种尺度 δ 去测量，其长度 L 均为**1**：

$$L = \delta^0 = 1$$

非线性物理：分形物理

- 用 $\delta=1/3$ 尺度测量，小于 δ 的弯曲部分被遗弃， $L(\delta=1/3)=4/3$ ；
依此类推：

$$L\left(\delta = \left(\frac{1}{3}\right)^n\right) = \left(\frac{4}{3}\right)^n = N \cdot \delta$$

- 根据维度定义，应该有： $L = \delta^\mu = N\delta$ ，这里 μ 是余数维。因此，
 $(4/3)^n = (1/3)^{n\mu} = N\delta$ ，所以有： $\mu = 1 - \ln 4 / \ln 3 = -0.2618$ ，定义 $\mu = 1 - D_H$ ，
有 $D_H = \ln 4 / \ln 3 = 1.2618$ ，称为Hausdorff分形维。

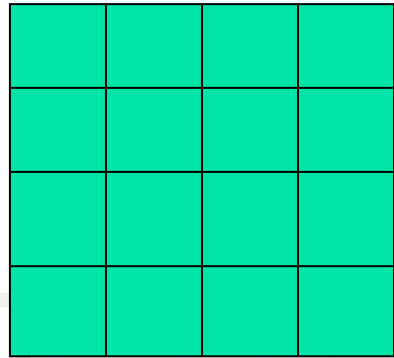
$$N = \delta^{-D_H}$$

$$D_H = \ln N / (\ln \delta^{-1})$$



非线性物理：分形物理

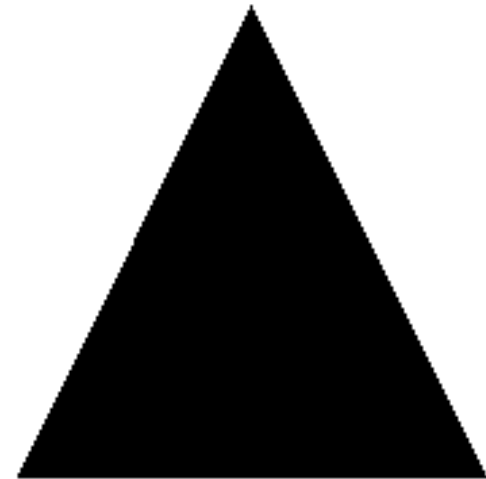
- 对一个正方形： $N \sim \delta^2$ ，所以 $D_H = 2.0$ 。对于一个立方体： $N \sim \delta^3$ ，所以 $D_H = 3.0$ 。



- 如图所示的Sierpinski三角形，映射到第n步， $\delta = (1/2)^n = 2^{-n}$ ，而相应的面积单元数目 $N = 3^n$ 。所以，维度 D_H 为：

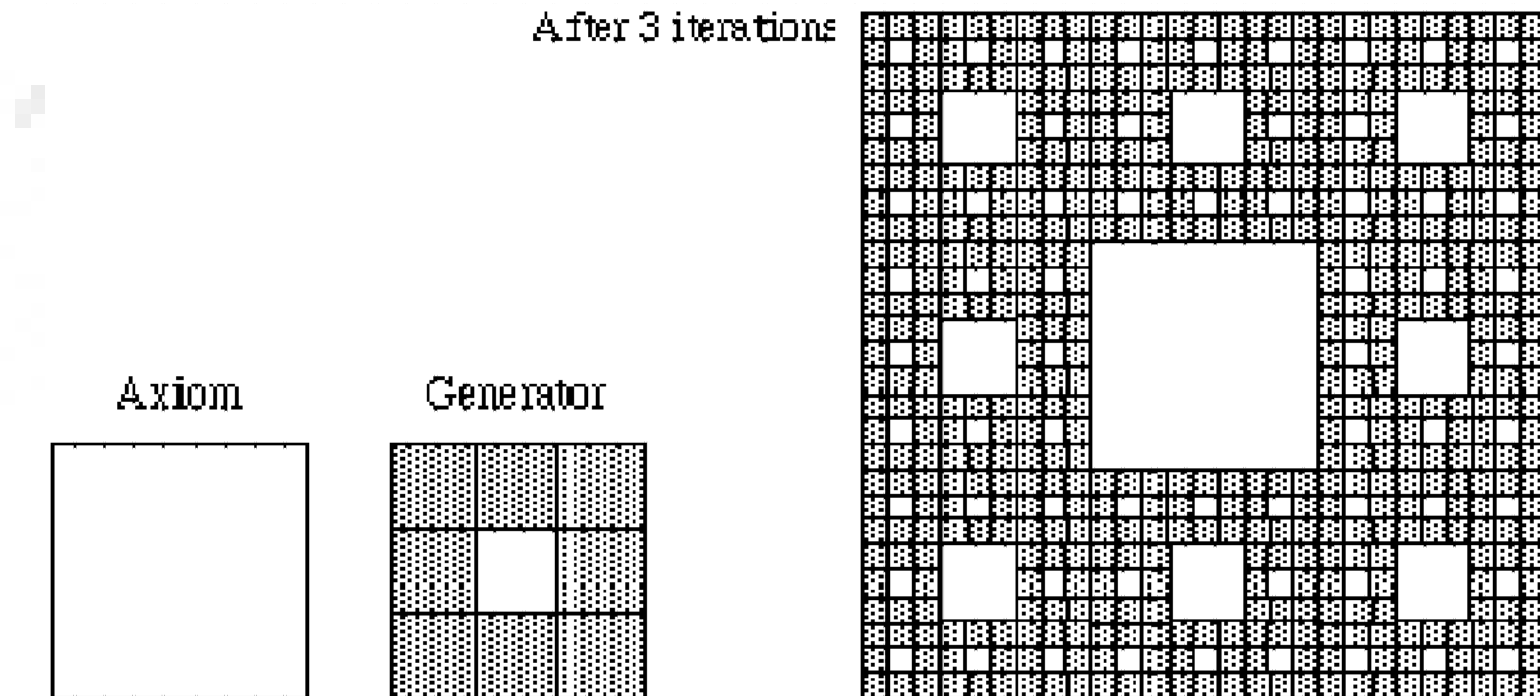
$$N \sim \delta^{-D_H} \Rightarrow 3^n \sim 2^{n \cdot D_H} \Rightarrow n \ln 3 = n D_H \ln 2$$

$$D_H = \ln 3 / \ln 2$$

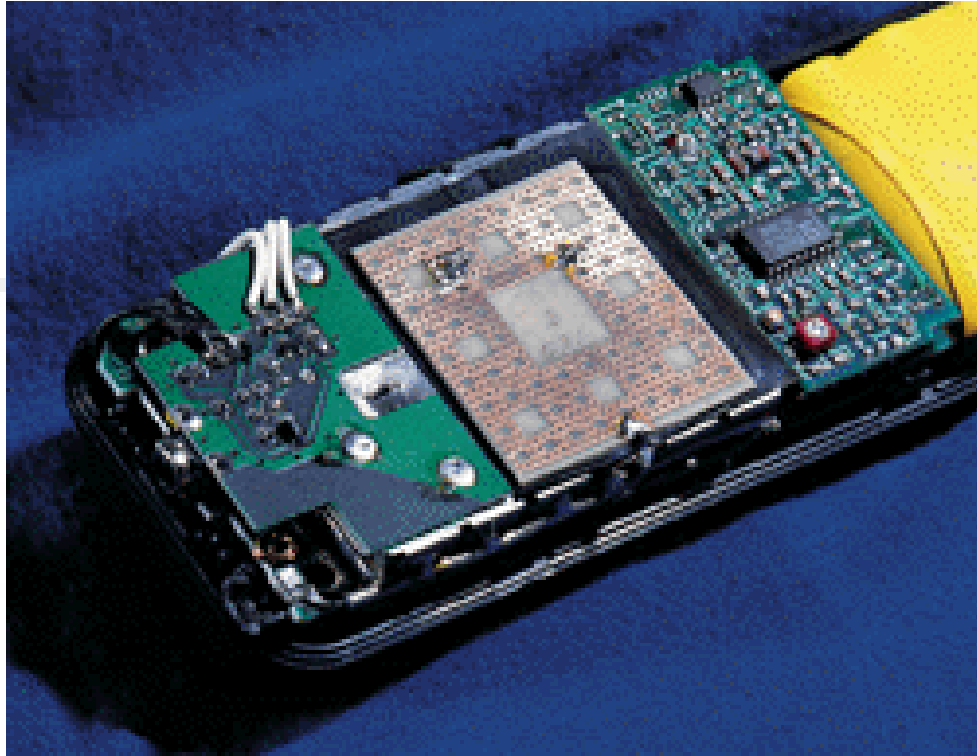


非线性物理：分形物理

- Sierpinski地毯，映射到第 n 步， $\delta=(1/3)^n=3^{-n}$ ，而相应的面积单元数目 $N=8^n$ 。所以，这个图形的维度为 $D_H=\log 8/\log 3=1.8928$ 。

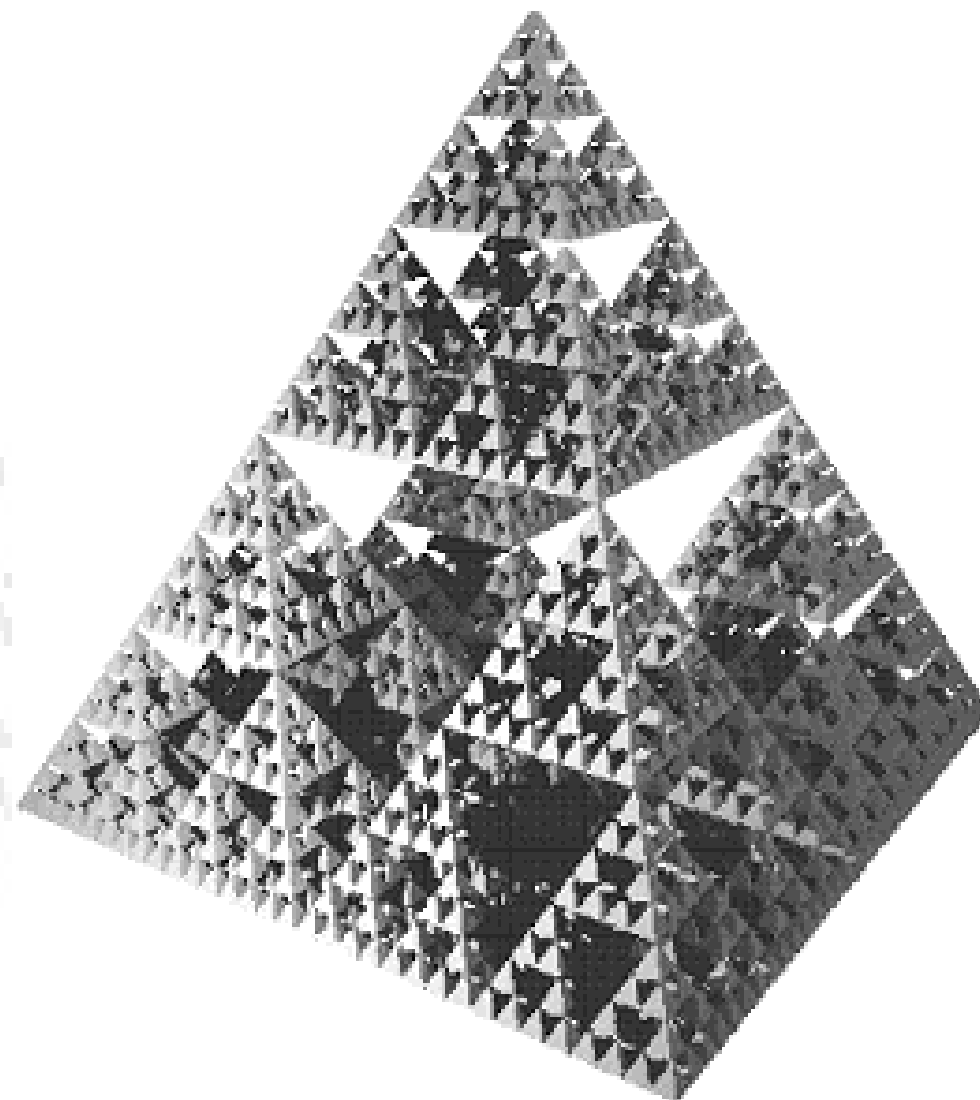
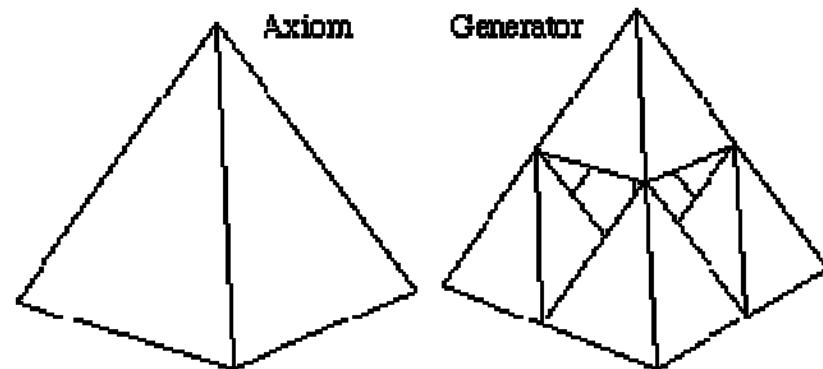


非线性物理：分形物理



天线发射

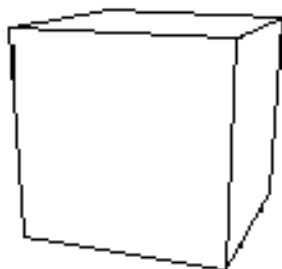
非线性物理：分形物理



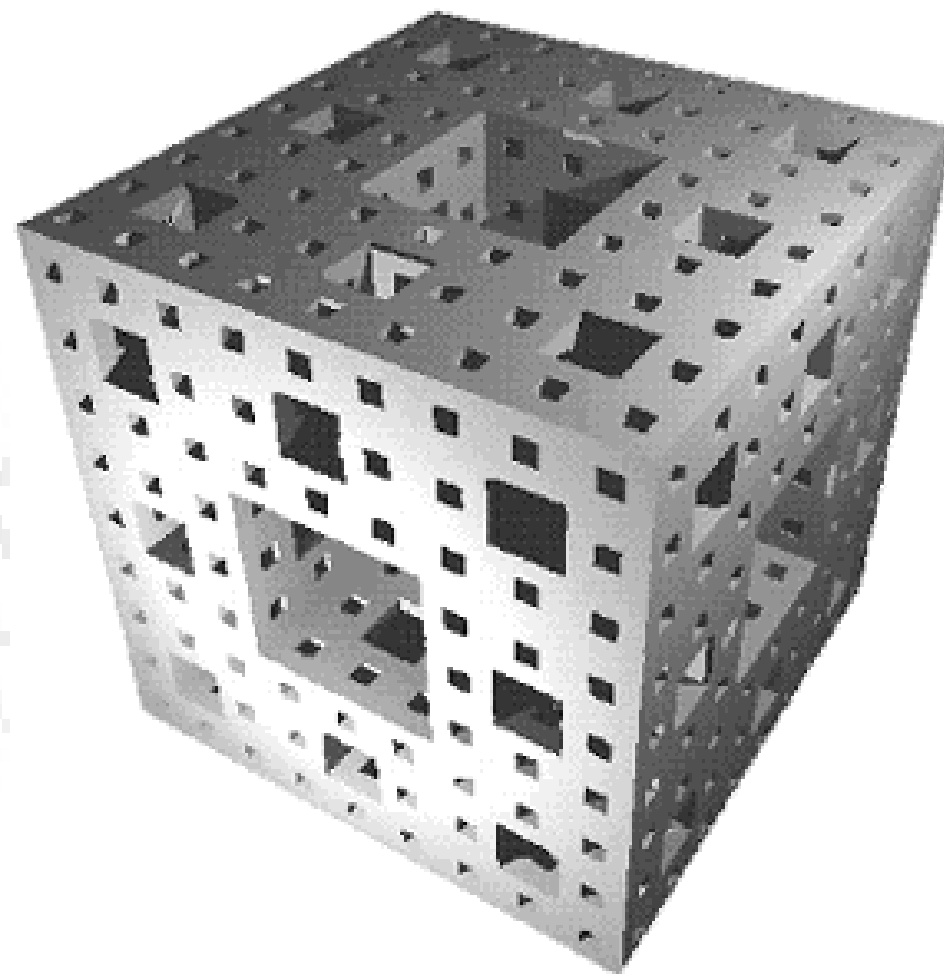
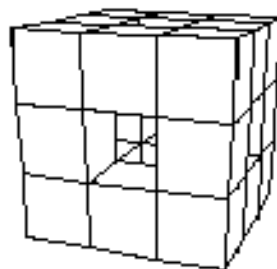
Sierpinski gasket:
 $D = \log 5 / \log 2 = 2.3219$

非线性物理：分形物理

Axiom



Generator

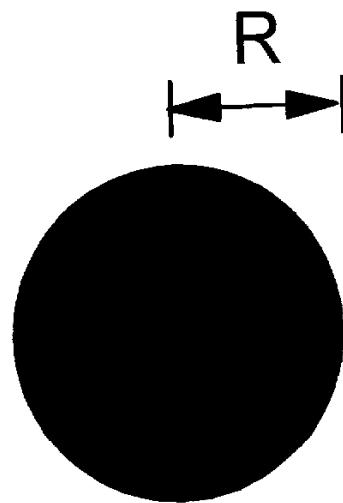


Sierpinski gasket:
 $D = \log 20 / \log 3 = 2.7268$



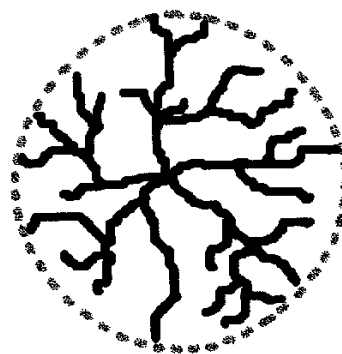
非线性物理：分形物理

- 质心定义方法：



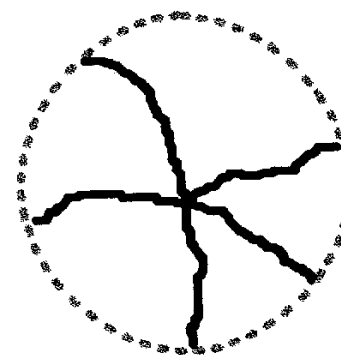
(a)

$$M = \pi R^2$$
$$(D = 2)$$



(b)

$$M = AR^D$$
$$(2 > D > 1)$$



(c)

$$M = NR^1$$
$$(D = 1)$$

非线性物理：分形物理

- 对于分形体而言，物体在整个 d 维空间的占有概率为 $P(\delta)$ ，这里 $d-D_H$ 为余数维。

$$P(\delta) = \delta^{d-D_H}$$

- 经典力学问题：万有引力 $f(r)$ 与物体间距 r 的关系： $f(r) \sim r^{-2}$ ，也没有特征尺度，但是维度为整数，是特例。
- 整理起来，有如下描述分形体的语言：



分形 基本 结构 特征

自相似性：局部放大或者缩小与整体相似。

空间幂指数律：整体量与线度呈幂指数关系。

标度不变性：不同标度下的相互一致性，即自相似。

没有特征尺度：结构没有特征尺度可以描述。

标度不变性的数学意义：

满足 $y(\lambda x) = \lambda^a y(x)$ 是齐次函数

设 $x \rightarrow x' = \lambda x$ 时， $y' = A x'^a = A \lambda^a x^a = \lambda^a A x^a = \lambda^a y$

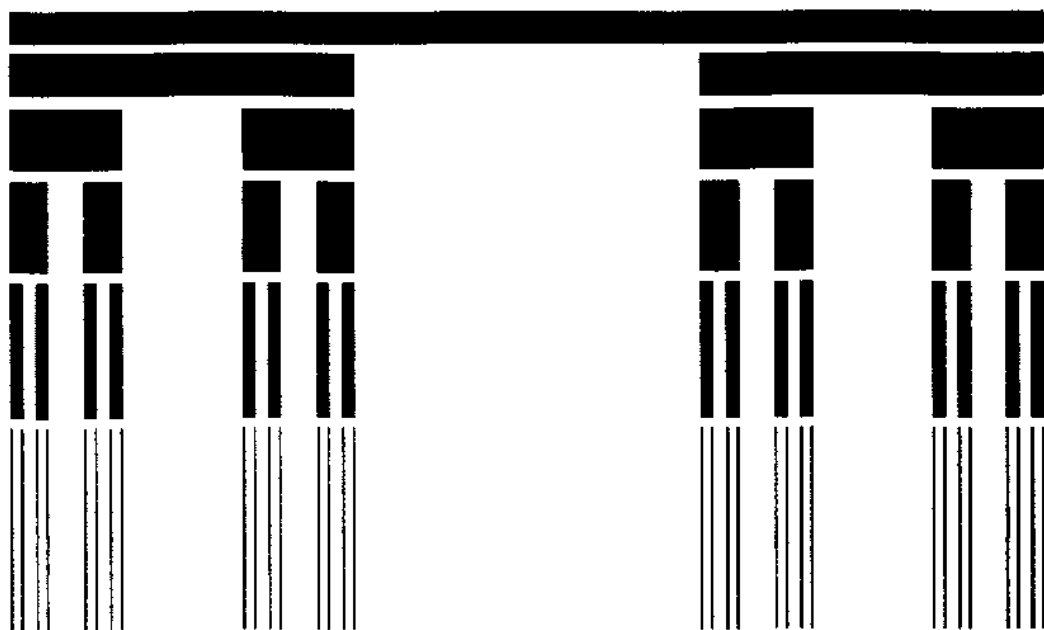
所以 $y' \sim y$



非线性物理：分形物理

动力系统映射：

- 一个分形体的形成演化过程在物理上应该是某种动力系统的演化。阐明这种演化是非线性物理的主干。在本章会一直关注这个问题。以Cantor集合的动力系统映射为例。



$$D = \frac{\lg N}{\lg\left(\frac{1}{r}\right)} = \frac{\lg 2}{\lg\left(\frac{1}{1/3}\right)} = 0.6301$$



非线性物理：分形物理

- 一般总可以将一个分形集合与一个动力系统映射联系起来。以 **Cantor集合** 为例：

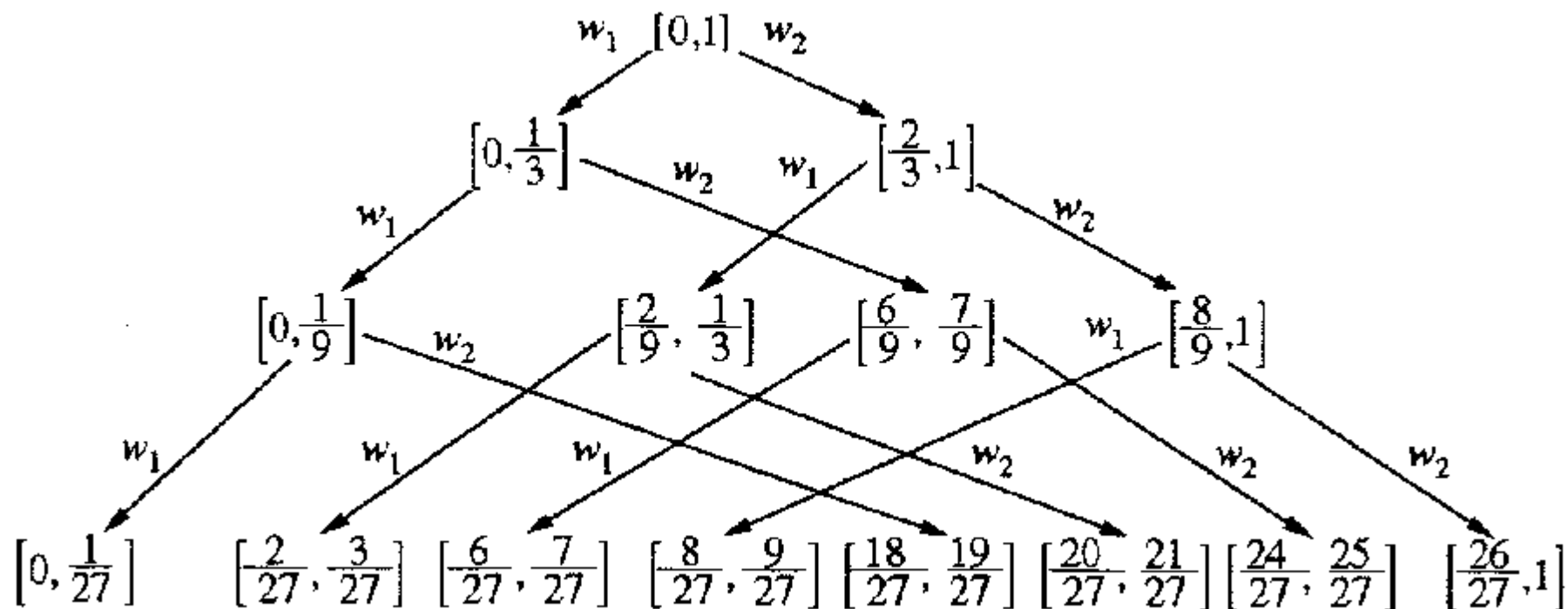
$$\begin{cases} x_n \in [0, 1] \\ x_{n+1} = \frac{1}{3} x_n = w_1(x_n) \\ x_{n+1} = \frac{1}{3} x_n + \frac{2}{3} = w_2(x_n) \end{cases}$$



- 映射 w_1 将 $[0, 1]$ 变成 $[0, 1/3]$ ， w_2 将 $[0, 1]$ 变成 $[2/3, 1]$ ； w_1 又将 $[0, 1/3]$ 和 $[2/3, 1]$ 分别变成 $[0, 1/9]$ 和 $[2/9, 1]$ ， w_2 将 $[0, 1/3]$ 和 $[2/3, 1]$ 分别变成 $[2/3, 5/9]$ 和 $[8/9, 1]$ ；构成如下的迭代过程：



非线性物理：分形物理

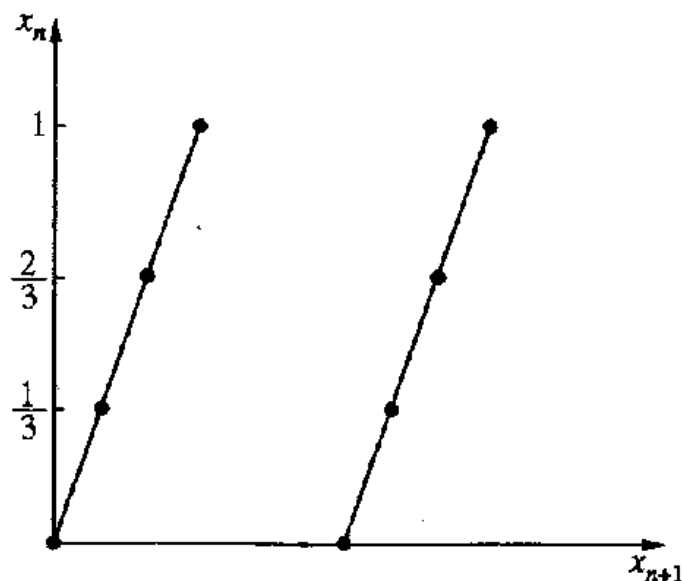


- 这种映射过程反映了系统演化的奇异突变性，在空间形成按照分形自相似规律排列的奇异点。
- 一个分形集合可以与一个动力系统映射演化联系起来。



非线性物理：分形物理

- 这种映射联系还可以图示如下：



$$x_n = 3x_{n+1} = w_1^{-1}(x_n),$$

$$x_n = 3x_{n+1} - 2 = w_2^{-1}(x_n).$$

- 更进一步，这种映射还可以考虑质量分布不均匀的情况，如：

$$\left. \begin{aligned} x_{n+1} &= \frac{1}{4}x_n = w_1(x_n) \\ x_{n+1} &= \frac{2}{5}x_n + \frac{3}{5} = w_2(x_n) \end{aligned} \right\} \equiv f(x), \quad \begin{aligned} P_1 &= 0.6, \\ P_2 &= 0.4, \end{aligned}$$



非线性物理：分形物理



- 这一映射将 $[0, 1]$ 分别拆解成 $[0, 1/4]$ 和 $[3/5, 1]$ ，依此类推。逆映射 w_1^{-1} 和 w_2^{-1} 又分别将 $[0, 1/4]$ 和 $[3/5, 1]$ 映射成 $[0, 1]$ 。设初始质量密度为 μ_0 ，有：

$$\mu_1\left[0, \frac{1}{4}\right] = P_1 \mu_0\left(w_1^{-1}\left[0, \frac{1}{4}\right]\right) = P_1$$

$$\mu_1\left[\frac{3}{5}, 1\right] = P_2 \mu_0\left(w_2^{-1}\left[\frac{3}{5}, 1\right]\right) = P_2$$

$$\mu_2(1) = P_1 \mu_1\left[0, \frac{1}{4}\right] = P_1 P_1 = P_1^2, \quad \mu_2(2) = P_2 \mu_1\left[0, \frac{1}{4}\right] = P_2 P_1$$

$$\mu_2(3) = P_1 \mu_1\left[\frac{3}{5}, 1\right] = P_1 P_2, \quad \mu_2(4) = P_2 \mu_1\left[\frac{3}{5}, 1\right] = P_2 P_2 = P_2^2$$

质量密度守恒！



非线性物理：分形物理

非均匀分形：

- 分形体演化可以是均匀的，也可以是非均匀的。还是以Cantor集合为例：

$$\left\{ \begin{array}{l} x_{n+1} = \frac{1}{3} x_n = w_1(x_n) \\ x_{n+1} = \frac{1}{3} x_n + \frac{2}{3} = w_2(x_n) \end{array} \right\} \quad \left\{ \begin{array}{l} x_{n+1} = \frac{1}{4} x_n = w_1(x_n) \\ x_{n+1} = \frac{2}{5} x_n + \frac{3}{5} = w_2(x_n) \end{array} \right\}$$



非线性物理：分形物理

- 因为左右映射不对称，获得的长度不同，因此用同一尺度 r 去测量导致左右线段长度不同：左边长度为 $N_1(r)$ ，右边长度为 $N_2(r)$ ，则一次映射后总长数目： $N(r)=N_1(r)+N_2(r)$ 。
- 而左边短线段和右边大线段是自相似的，用 $r_1=r/4$ 测量左线段和用 $r_2=2r/5$ 测量右线段数目应该一样： $N_1(r_1 \cdot r)=N_2(r_2 \cdot r)=N(r)=r^{-D}$

$$N_1(r) = \left(\frac{r}{r_1}\right)^{-D}, \quad N_2(r) = \left(\frac{r}{r_2}\right)^{-D}$$

$$r_1^D + r_2^D = 1$$

$$r_1^D + r_2^D + r_3^D + \dots + r_n^D = 1$$



非线性物理：分形物理

- 例子(1) 非均匀Cantor集合, $r_1=1/4$, $r_2=2/5$, 所以:

$$\left(\frac{1}{4}\right)^D + \left(\frac{2}{5}\right)^D = 1 \Rightarrow \left(\frac{1}{4}\right)^D = x, \quad \left(\frac{2}{5}\right)^D = x^{0.66} \Rightarrow x = 0.43, \quad D = 0.611$$

- 例子(2) Logistic映射: $g(x) = -\alpha g\left[g\left(-\frac{x}{\alpha}\right)\right]$

- 取 $g(0)=1$, 则映射的周期倍分叉过程可转换成Cantor集合映射。

设 $x=0$, 有 $g(0)=-\alpha g[g(0)]=-\alpha g(1)$, 所以 $g(1)=-\alpha^{-1}$ 。要求得 $g(-\alpha^{-1})$

是多少? 取 $x=1$, 得到 $g(1)=-\alpha g[g(-\alpha^{-1})]=-\alpha^{-1}$, $g[g(-\alpha^{-1})]=\alpha^{-2}$ 。所

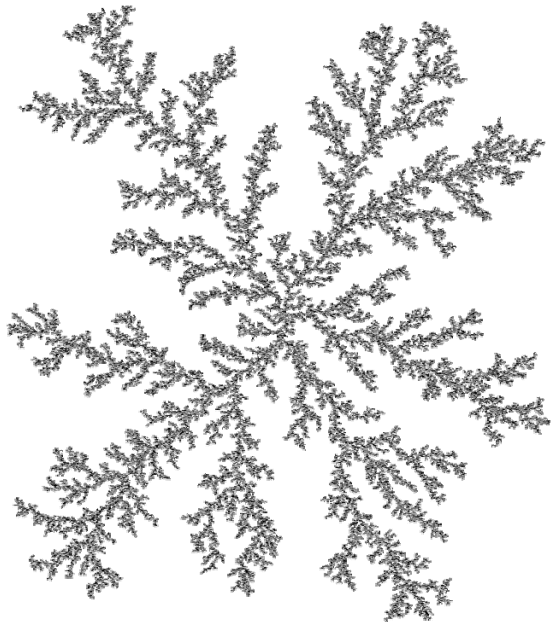
以有 $\alpha^{-D} + \alpha^{-2D} = 1$, $D=0.537$ 。



非线性物理：分形物理

无规分形：

- 自然界大量物理研究对象并非严格的数学分形，但其中某些物理量对空间尺度满足某种非整数的幂指数关系，统称分形。
- 检验分形的方法是检验其几个主要性质，例如标度不变性、幂指数行为等等。



计算空间对-对关联函数 $c(r)$

$$c(r) = \frac{1}{V} \sum_{r'} \rho(r+r') \rho(r')$$

非线性物理：分形物理

- 如果 $c(r)$ 对任意一个长度变换不变，则满足所谓标度不变性：

$$c(br) \propto b^\alpha c(r), \quad 0 < \alpha < d$$

- 满足上述标度不变的函数是幂指数：

$$c(r) \propto r^{-\alpha}$$

- 对一个分形体，半径为 L 的球内粒子数为 $N(L)$ ： $d_f = d - \alpha$

$$N(L) \propto \int_0^L c(r) d^d r \propto L^{d-\alpha}$$

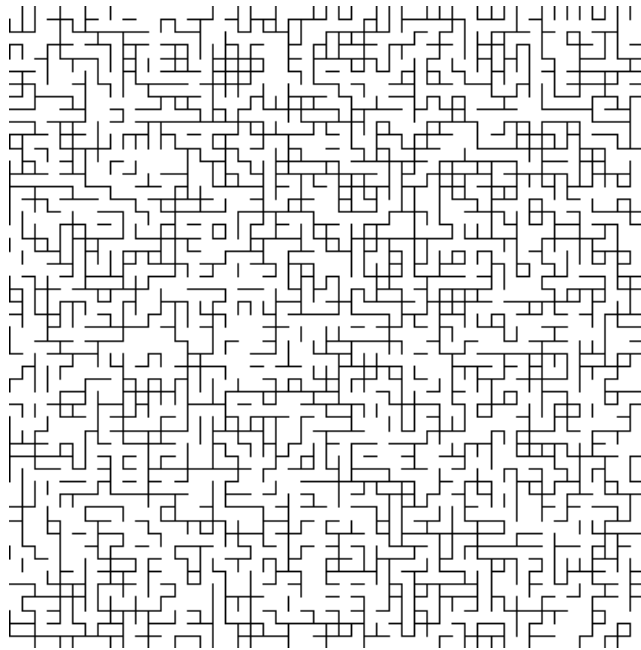
- 上式中注意到 $c(r)$ 的定义中有 $1/V$ 。这是定义无规分形的常用方法，非常popular。



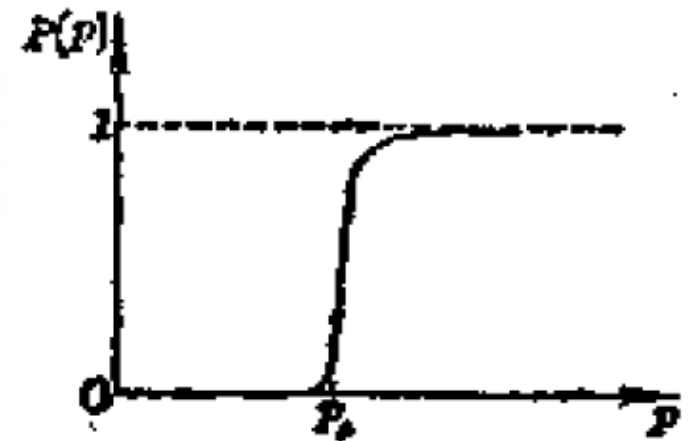
非线性物理：分形物理

无规分形之渗流集团：

- 统计物理的一个重要问题：格点渗流与键渗流。



格点集团，概率 p
集团的定义



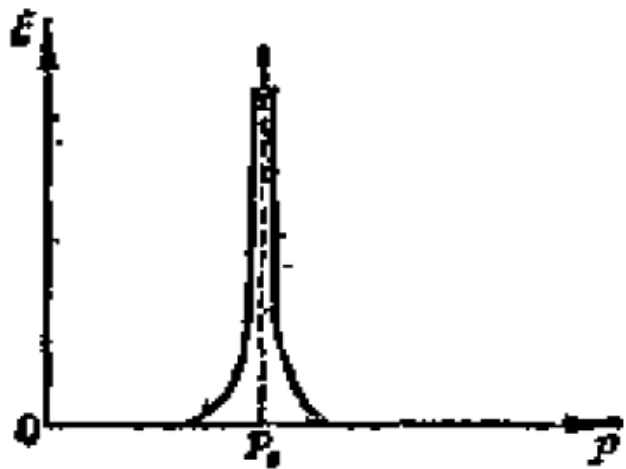
$$P(p) \propto |p - p_0|^\beta \propto \varepsilon^\beta, \quad \varepsilon \equiv \frac{p - p_0}{p_0}$$



非线性物理：分形物理

- 对渗流集团，应用关联函数，可得关联长度 ξ 及其临界指数 ν ：

$$\xi \propto |p - p_0|^{-\nu} \propto \varepsilon^{-\nu}$$



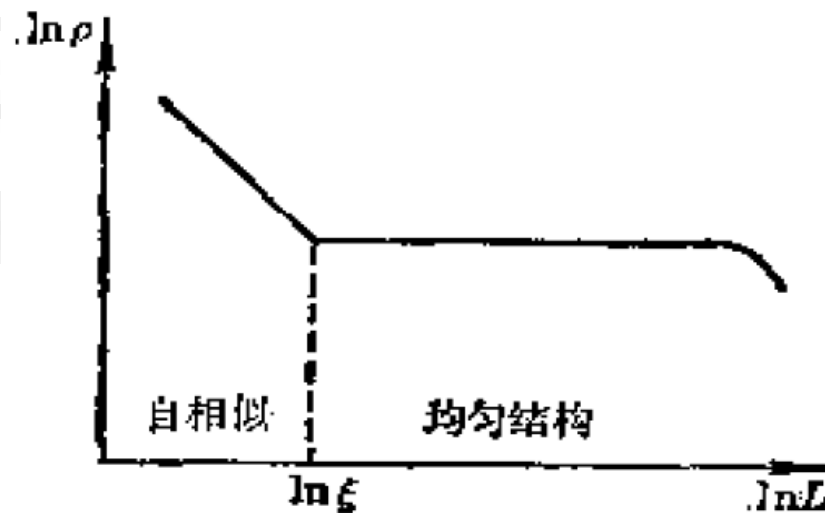
- 当 $\delta > \xi$ ，体系是密实的；当 $\delta < \xi$ ，体系是自相似的。当 $p = p_0$ 时， $\xi \rightarrow \infty$ ，整个体系为一个分形体。

非线性物理：分形物理

- 证明这一点不难。定义格点密度 ρ 及格点体积 M :

$$\rho(L) \propto M(L) / L^d \quad M(L) \sim L^{d_f}$$

$$\rho(L) \sim L^{d_f - d} \quad \ln \rho(L) = \text{const} - (d - d_f) \ln L$$



- 因此， $L > \xi$ ，体系是密实的，有 $d_f = d$ ；当 $L < \xi$ ，体系自相似，有 $d_f < d$ 。如何计算 $L < \xi$ 下的分形维？



非线性物理：分形物理

- 对于一个渗流分形集团($r < \xi$), 关联函数 $c(r)$ 满足幂指数律:

$$c(r) \sim P(p) f(r/\xi)$$

$$\because P(p) \sim \varepsilon^\beta, \quad \xi \sim \varepsilon^{-\nu}, \quad \therefore P(p) \sim \xi^{-\beta/\nu}$$

$$c(r) \sim \xi^{-\beta/\nu} f(r/\xi)$$

- 注意, 在 $L < \xi$ 时, $c(r)$ 与整个渗流集团关联长度 ξ 应该是没有关系的, 所以幂指数函数 $f(L/\xi)$ 下必须取下列形式:

$$f(r/\xi) \sim (r/\xi)^{-\beta/\nu} \quad \therefore c(r) \sim r^{-\beta/\nu}$$

$$\because M(L) \sim \int_0^L c(r) d^d r = L^{d_f} = L^{d-\beta/\nu}$$

$$\therefore d_f = d - \beta/\nu \quad \alpha = \beta/\nu$$

$d=2$ 时, $\beta=0.104$,
 $\nu=1.33$, $d_f \sim 1.89$,
非常符合。



非线性物理：分形物理

无规分形之随机行走(RW):

- 对于理想布朗运动，运动轨迹也是分形。位移均方值为：

$$r^2 \equiv \langle r^2(t) \rangle \sim t, \quad N \sim r^{d_f}$$

- 因为 r 是位移均方根，所以一定有 $N \sim r^2$ ，因此， $d_f=2.0$ 。
- 对自规避行走(SAW)，有类似分形行为。模拟和重整化给出SAW的关联临界指数 $\nu=3/4$ ， $d_f=1/\nu=4/3$ 。



非线性物理：分形物理

分维测量：实验

- 图像处理，散射实验。后者特别有用，因为散射与分形体结构因子相联系，而结构因子决定于空间相关函数 $c(r)$ ：

$$s(q) = 4\pi \int_0^\infty c(r) r^2 \frac{\sin(qr)}{qr} dr, \quad c(r) \sim r^{d_f - d}$$

- 对尺寸 R 有限的样品， $r > R$ 时， $c(r)$ 必定很快下降，所以对 $d=3$ ：

$$c(r) \sim r^{d_f - 3} f(r/R), \quad \begin{cases} f(x) \sim \text{const} & \text{as } x \ll 1 \\ f(x) \ll 1 & \text{as } x \gg 1 \end{cases}$$

$$r = z/q \Rightarrow s(q) \sim q^{-d_f} \int_0^\infty z^{d_f - 2} f(z/qR) \sin z dz$$

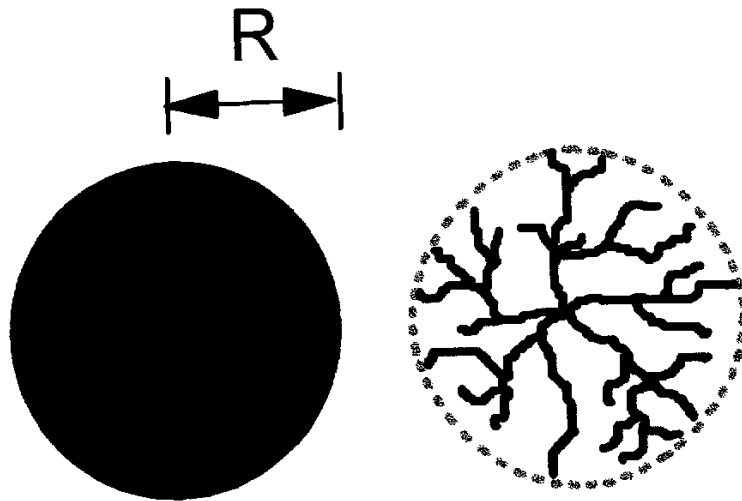
$$I(q) \sim s(q) \sim q^{-d_f} \quad \text{as } R^{-1} \ll q \ll r_0^{-1}$$



非线性物理：分形物理

分维测量：计算机模拟

- 最为popular，且简单，可使用回转半径法：



- 统计物理上经常使用实空间重整化方法来处理分形维问题，此处不再讨论。

